

[[Co(4,4'-bipy)(H₂O)₄]·(α-Furacrylic acid)₂·(H₂O)]_n 的水热合成、晶体结构及电化学分析

杨颖群^{*1} 李昶红² 李薇¹ 匡云飞¹
(¹衡阳师范学院化学与材料科学系,衡阳 421008)
(²湖南工学院化学化工系,衡阳 421002)

关键词: 钴(II)配合物; 水热合成; 晶体结构; 电化学性质

中图分类号: O614.81+2 文献标识码: A 文章编号: 1001-4861(2007)07-1247-04

Hydrothermal Synthesis, Crystal Structure and Electrochemical Properties of [[Co(4,4'-bipy)(H₂O)₄]·(α-Furacrylic acid)₂·(H₂O)]_n

YANG Ying-Qun^{*1} LI Chang-Hong² LI Wei¹ KUANG Yun-Fei¹

(¹Department of Chemistry and materials Science, Hengyang Normal University, Hengyang, Hunan 421008)

(²Department of Chemical Engineering, Hunan Institute of Technology, Hengyang, Hunan 421002)

Abstract: A complex [[Co(4,4'-bipy)(H₂O)₄]·(α-Furacrylic acid)₂·(H₂O)]_n with α-furacrylic acid, 4,4'-bipy and cobaltous chloride hexahydrate has been synthesized by means of hydrothermal way and characterized. Crystal data for this complex: monoclinic, space group *P2₁/c*, *a*=1.147 0(2) nm, *b*=1.099 9(2) nm, *c*=1.111 1(2) nm, *β*=97.829(3)°, *V*=1.388 7(5) nm³, *D_c*=1.429 g·cm⁻³, *Z*=2, *μ*(Mo *Kα*)=0.682 mm⁻¹, *F*(000)=622, *S*=1.025, *R*₁=0.035 8, *wR*₂=0.086 1. The crystal structure shows that the cobalt(II) ion is coordinated with two nitrogen atoms of two 4,4'-bipy molecules and four oxygen atoms from four water molecules, respectively, giving a distorted octahedral coordination geometry. Adjacent cobalt(II) ions are bridged by 4,4'-bipy groups, resulting in a 1D chain structure. The adjacent Co(II)-Co(II) distance is 1.147 0 nm. The cobalt(II) ion isn't coordinated with α-Furacrylic acid. The complex molecules form 2D structure through hydrogen bonds. The cyclic voltametric behavior of the complex was also investigated. CCDC: 648243.

Key words: cobalt(II) complex; hydrothermal synthesis; crystal structure; electrochemical property

配位聚合物由于在分子识别、催化、光电性质和磁性等方面表现出独特性能,在新功能材料的开发中显示了诱人的应用前景,近年来,设计和组装具有一维、二维和三维有序结构的配位聚合物已成为超分子化学研究中最活跃的领域之一^[1-5]。为了构筑具有特殊拓扑结构的多维配位聚合物,人们常使用含 N 的有机桥联配体。4,4'-联吡啶作为一种刚性

的线性桥联配体,常用于多维配位聚合物的设计和构筑。以 4,4'-联吡啶和羧酸为配体的三元钴(II)配合物文献报道较多,它们中的羧酸配体大多数集中于芳香羧酸^[6-8]、柔性羧酸^[9,10]及杂环饱和羧酸的研究^[11,12],而以杂环不饱和羧酸和 4,4'-联吡啶为配体的钴(II)配合物报道较少。α-呋喃丙烯酸(α-Furacrylic acid)是一种杂环不饱和羧酸,它是重要的

收稿日期:2007-04-02。收修改稿日期:2007-05-17。

湖南省教育厅基金资助(No.06C195),衡阳市科技局基金项目(No.2005Cg10-23),衡阳师范学院青年骨干基金项目(No.2006)。

*通讯联系人。E-mail: yyingqun@126.com

第一作者: 杨颖群,女,36岁,副教授;研究方向:功能配合物。

有机合成中间体,作为配体它可以与金属离子配位形成配合物。为了合成功能配位聚合物,并获得羧酸和4,4'-联吡啶作为配体构筑钴(II)配合物的全面信息,在本文中,我们使用4,4'-联吡啶和 α -呋喃丙烯酸作为配体与氯化钴通过水热反应合成了一个二维网状结构的钴(II)配合物 $\{[\text{Co}(4,4'\text{-bipy})(\text{H}_2\text{O})_4]\cdot(\alpha\text{-Furaacrylic acid})_2\cdot(\text{H}_2\text{O})\}_n$,用IR和元素分析对配合物进行了表征,并用X-射线单晶衍射测定了该配合物的晶体结构,同时对该配合物的电化学性质进行了研究。

1 实验部分

1.1 试剂和仪器

试剂:4,4'-联吡啶、氯化钴和氢氧化钾为化学纯; α -呋喃丙烯酸为自制。

仪器:日本岛津FTIR-8700红外光谱仪(4000~400 cm^{-1}),Bruker SMART 1000 CCD单晶衍射仪,PE-2400(II)型元素分析仪,北京产XT4双目显微熔点测定仪,天津市兰力科化学电子技术有限公司LK98微机电化学分析系统。

1.2 配合物的合成

先将2 mmol 4,4'-联吡啶和1 mmol 六水氯化钴溶解在乙醇和水的混合溶剂中,水浴加热回流反应2 h。待溶液冷却后,连同3.5 mmol α -呋喃丙烯酸一起转移到25 mL水热釜内,用稀氢氧化钾调节溶液接近中性。于180 $^{\circ}\text{C}$ 恒温反应12 h,然后降至室

温,开釜后得到红色固体。将所得的固体产品用甲醇重结晶,室温下培养晶体,数周后得到适合于X射线单晶结构分析的红色晶体。元素分析按 $\text{C}_{24}\text{H}_{30}\text{CoN}_2\text{O}_{12}$,计算值(%):C 48.25,H 5.06,N 4.69;实测值(%):C 48.20,H 5.04,N 4.67。m.p.为183.0~184.5 $^{\circ}\text{C}$ 。IR主要吸收峰(ν/cm^{-1})为:3 421(w),1 643(vs),1 607(s),1 589(s),1 541(vs),1 508(s),1 489(s),1 416(vs),1 379(s),1 014(s),814(s),727(s),698(m),631(m),592(m),532(w),457(w),444(w)。

1.3 配合物晶体结构测定

选取尺寸为0.24 mm \times 0.10 mm \times 0.10 mm的单晶,使用Bruker SMART 1000 CCD单晶衍射仪进行衍射实验,在294(2) K下用Mo $K\alpha$ 单色射线($\lambda=0.071\ 073\ \text{nm}$),以 $\varphi\sim\omega$ 扫描方式在 $1.79^{\circ}\leq\theta\leq 26.45^{\circ}$ 范围内共收集7 679个衍射点,其中2 848个独立衍射点($R_{\text{int}}=0.033\ 0$),2 066个可观察衍射点[$I>2\sigma(I)$]用于结构解析和结构修正。全部数据经 L_p 因子和经验吸收校正。晶体结构采用SHELXS-97程序^[13]由直接法解出,结构精修采用SHELXL-97程序^[13],对氢原子和非氢原子分别采用各向同性和各向异性温度因子进行全矩阵最小二乘法修正。最终偏离因子 $R_1=0.035\ 8$, $wR_2=0.086\ 1$; $w=1/[S^2(F_o^2)+(0.049\ 2P)^2+0.426\ 4P]$,其中 $P=(F_o^2+2F_c^2)/3$; $(\Delta/\sigma)_{\text{max}}=0.001$; $S=1.025$; $(\Delta\rho)_{\text{max}}=300\ \text{e}\cdot\text{nm}^{-3}$ 和 $(\Delta\rho)_{\text{min}}=-331\ \text{e}\cdot\text{nm}^{-3}$ 。配合物的晶体学数据列于表1。

CCDC:648243。

表1 配合物的晶体学数据

Table 1 Crystallographic data for the complex

Empirical formula	$\text{C}_{24}\text{H}_{30}\text{CoN}_2\text{O}_{12}$	V/nm^3	1.388 7(5)
Formula weight	597.43	$D/(\text{g}\cdot\text{cm}^{-3})$	1.429
Color	Red	Z	2
Size/mm	0.24 \times 0.10 \times 0.10	$F(000)$	622
θ range for data collection/ $^{\circ}$	1.79~26.45	$\mu(\text{Mo } K\alpha)/\text{mm}^{-1}$	0.682
Crystal system	Monoclinic	Reflections collected	7 679
Space group	$P2_1/c$	Independent reflections	2 848 ($R_{\text{int}}=0.033\ 0$)
a/nm	1.147 0(2)	Final GooF	1.025
b/nm	1.099 9(2)	$R_1, wR_2 [I>2\sigma(I)]$	0.035 8, 0.086 1
c/nm	1.111 1(2)	R_1, wR_2 (all data)	0.059 8, 0.100 2
$\beta/^{\circ}$	97.829(3)	Largest difference peak and hole/ $(\text{e}\cdot\text{nm}^{-3})$	300, -331

2 结果与讨论

2.1 配合物的红外光谱

IR光谱表明,配合物在3 421 cm^{-1} 附近有一强

而宽的吸收峰,它是OH的特征吸收峰;在1 508 cm^{-1} 处出现了C=C的特征吸收峰,在1 607 cm^{-1} 处出现了C-O-C特征吸收峰,可归属于 α -呋喃丙烯酸的吸收峰,此外,在1 489 cm^{-1} 有吸收峰,可归

对于赤道平面 O(1)O(2)O(1A)O(2A)来说呈对称分布。3 对处于对角位置的原子键角值为:O(1)-Co(1)-O(1A) 180.0°、N(1)-Co(1)-N(1A) 180.0°和 O(2)-Co(1)-O(2A) 180.0°,它们都等于 180.0°,这说明 Co(1)同时位于 3 条直线 O(1)O(1A)、N(1)N(1A)、O(2)O(2A)上。Co-O 键长有差异:Co(1)-O(1)和 Co(1)-O(1A)键长相等都为 0.206 68(17) nm、Co(1)-O(2)和 Co(1)-O(2A)键长相等都为 0.207 38(17) nm,前者略短于后者。Co(1)-N(1)和 Co(1)-N(1A)键长相等都为 0.217 41(17) nm。以上分析说明标题配合物中每一个 Co(II)与 6 个配位原子形成了六配位的变形八面体结构。此外,配位聚合物中 α -呋喃丙烯酸根没有参与配位,它通过氢键作用存在于配合物中,在整个分子中起电荷平衡作用。

配合物中存在丰富的氢键作用, α -呋喃丙烯酸根的羧基氧原子与配位水和游离水通过强氢键作用连接起来:O(1)-H(1B) \cdots O(3) 0.271 6(3) nm, 173(2)°、O(2)-H(2A) \cdots O(3) 0.270 2(3)nm, 173(2)°、O(2)-H(2B) \cdots O(4) 0.272 7(3)nm, 176(2)°、O(6)-H(6A) \cdots O(4) 0.277 1(3) nm, 168(3)°、O(6)-H(6B) \cdots O(4) 0.287 8(3) nm, 161(2)°;分子中的游离水与配位水之间靠氢键作用连接起来:O(1)-H(1A) \cdots O(6)键长为 0.269 5(3) nm,键角为 176(3)°。由于分子之间氢键作用一维链状结构分子连接在一起形成了二维网状结构(见图 1)。

2.3 配合物的循环伏安(CV)

图 2 为标题配合物的循环伏安图。采用三电极体系,玻璃碳电极为辅助电极、铂电极为工作电极、

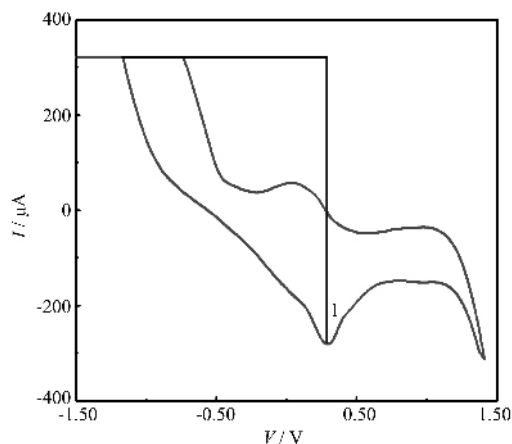


图 2 标题配合物的循环伏安图

Fig.2 Cyclic voltammograms of the title complex

SCE 为参比电极,以甲醇为溶剂,KCl 为支持电解质,配合物的浓度为 $1.0 \times 10^{-6} \text{ mol} \cdot \text{L}^{-1}$,于室温下进行测定,从 -1.500~1.500 V 进行扫描,扫描速度为 $100 \text{ mV} \cdot \text{s}^{-1}$ 。从循环图形来看,只出现了 1 个氧化峰,其峰电位为 $E_{\text{pa}}=0.285 \text{ V}$,可判别电解中电子转移是不可逆。

参考文献:

- [1] Stein A, Keller S W, Mallouk T E. *Science*, **1993**,**259**:1558~1564
- [2] Moulton B, Zaworotko M. *Chem. Rev.*, **2001**,**101**:1629~1658
- [3] CHEN Guo-Ping(陈国平), HU Yue-Hua(胡月华), WANG Zuo-Wei(王作为), et al. *Wuji Huaxue Xuebao(Chinese J. Inorg. Chem.)*, **2006**,**22**(4):775~777
- [4] TAN An-Zhi(谭安治), WEI You-Huan(韦友欢), CHEN Zi-Lu(陈自卢), et al. *Wuji Huaxue Xuebao(Chinese J. Inorg. Chem.)*, **2006**,**22**(3):394~398
- [5] GAO Shan(高山), HUO Li-Hua(霍丽华), LU Zhen-Zhong(卢振中), et al. *Wuji Huaxue Xuebao(Chinese J. Inorg. Chem.)*, **2005**,**21**(8):1242~1244
- [6] He H Y, Zhou Y L, Zhu L G. *Z. Kristallogr.-New Cryst. Struct.*, **2005**,**220**:445~448
- [7] Wang X L, Qin C, Wang E B. *Cryst. Growth Des.*, **2006**,**6**:439~443
- [8] Yan Y, Wu C D, He X, et al. *Cryst. Growth Des.*, **2005**,**5**:821~824
- [9] Hao N, Shen E H, Li Y G, et al. *Inorg. Chem. Commun.*, **2004**,**7**:510~514
- [10] Konar S, Zangrando E, Chaudhuri N R. *Inorg. Chim. Acta*, **2003**,**355**:264~270
- [11] Wang Y L, Yuan D Q, Bi W H, et al. *Cryst. Growth Des.*, **2005**,**5**:1849~1852
- [12] Ghosh S K, Ribas J, Bharadwaj P K. *Cryst. Growth Des.*, **2005**,**5**:623~627
- [13] Sheldrick G M. *SHELX-97 Program for the Solution and the Refinement of Crystal Structures*, University of Göttingen, Germany, **1997**.
- [14] Nakamoto K. *Infrared and Raman Spectra of Inorganic and Coordination Compounds*, 3rd Edn. New York: John Wiley and Sons, **1978**.
- [15] Nakamoto K, Translated by HUANG De-Ru(黄德如), WANG Ren-Qing(汪仁庆). *Infrared and Raman Spectra of Inorganic and Coordination Compounds*, 3rd edn(无机和配位化合物的红外和拉曼光谱,第三版). Beijing: Chemical Industry Press, **1986**.